

4 Olgu Nedeniyle Rhinoserebral Mukormikozis: Klinik Radyolojik Bulgular ve Tedavi^(X)

Dinç ÖZAKSOY*, M.Ufuk GÜNBAY**, Ataman GÜNERİ**, Kerim CERYAN**
A.Ömer İKİZ**, Emek ÖZEN ***, Şakir FADILOĞLU****

D.E.Ü. Tip Fakültesi Radyodiagnostik Anabilim Dalı*
D.E.Ü. Tip Fakültesi Kulak Burun Boğaz Anabilim Dalı **
D.E.Ü. Tip Fakültesi Patoloji Anabilim Dalı ***
D.E.Ü. Tip Fakültesi Nöroloji Anabilim Dalı ****

ÖZET

Rhinoserebral mukormikozis fungusların oluşturduğu nadir görülen ve fatal seyr gösteren bir infeksiyondur. Özellikle diabet, immun yetmezlik ve ağır travma olgularında görülür. Manyetik Rezonans Görüntüleme (MRG) ve Bilgisayarlı Tomografi (BT) tespitlerinde, paranasal sinüslerde havalandırma kaybı, mukoza kalınlaşma, orbita apesiinde yumuşak doku infiltrasyonu ve infarkt, ödem, kanama gibi radyolojik bulgularla sevreden intraserebral tutulum da ortaya çıkabilir. Bu yazda 2'si fatal sonuçlanan 4 rhinoserebral Mukormikozis olgasının presipitan faktörleri, klinik, BT bulguları ile iki olgunu MRG bulguları ve uygulanan tedaviler sunulmuştur.

Anahtar Sözcükler: Mukormikozis, Bilgisayarlı Tomografi, Manyetik Rezonans Görüntüleme

SUMMARY

Rhinocerebral mucormycosis is a rare fungal disease that may show fatal progression. Diabetes, immune deficiency and serious trauma may precipitate this entity. Magnetic resonance imaging (MRI) and computerized tomography (CT) show loss of aeration, mucosal thickening in paranasal sinuses, soft tissue infiltration in orbital apices, and in patients with intracerebral invasion, cerebral infarct, oedema and cerebral hemorrhages as radiological manifestations. In this report 4 cases of rhinocerebral mucormycosis, 2 of them being fatal, have been presented and their precipitating factors, clinical findings, CT and MRI (of the 2 cases) manifestations and treatment modalities have been reported.

Key Words: Mucormycosis, Computerized Tomography, Magnetic Resonance Imaging

Mukormikozis, Mucorales grubundan fungusların oluşturduğu hastalıklara verilen ortak ismidir. Mucorales hemen hemen tüm çürüme eğilimi gösteren materyallerde ve her ortamda bulunan bir fungustur. Hızlı büyümesi ve aşırı spor oluşturma kapasitesi nedeniyle conidialar vücutta sıklıkla üst solunum yollarından girerek konkallarda yerleşmekte ve akciğer alveollerine gitmektedirler. Bronkoalveoler makrolajlar ve nötrofiller sporları fagosite ederek üremelerini engellemekte-

dirler. Ancak immunosuprese hastalarda ve diabetik ketoasidozda bu mekanizma bilinmeyen bir nedenle bozulmaktadır ve hastalık ortaya çıkmaktadır. Fungus patojenite kazanıp gelişmeye başladiktan sonra hifler dokuyu işgal etmekte ve daha sonra damar duvarlarını doğrudan aşıp tromboz ve doku nekrozu ile klinik tablonun ağırlaşmasına yol açmaktadır. Bu dönemde hastalığın ve yayılımının erken tanısı ve cerrahi tedavi ile birlikte übri tedavi kombinasyonu, fatal gidişi önlemek büyük önem taşımaktadır.

(XIX. Ulusal Türk Otolaryngoloji Kongresinde (5 - 12 Ekim 1991; Manavgat) tebliğ edilmiştir.

Sunulan ayında 4 mukormikozis olgusunun klinik, radyolojik bulguları ve tedavileri tartışılmıştır.

OLGULAR:

Sunulan dört olgunun üçü erkek biri bayanıdır. Hepsinde de birbirinden ayı ile yirmisekiz yıl arasında değişen sürelerde diabet öyküsü bulunmaktadır. Olguların yaş, cinsiyet ve presipitan hastalıkları Tablo I'de, klinik, Bilgisayarlı Tomografi (BT) ve Manyetik Rezonans Görüntüleme (MRG) bulguları Tablo II'de uygulanan tedaviler ve sonuçları da Tablo III'de sunulmuştur. 2. olgunun MRG de parunazal sinüs, orbita ve intrakranial yayılım bulguları Resimler 1.2 ve 3'te sırasıyla, 4. olgunun tedavi öncesi BT bulguları Resim 4'te ve tedavi sonrası BT bulguları da Resim 5'te gösterilmiştir.

TABLO I: 4 olgunun yaş, cinsiyet ve presipitan faktörleri.

OLGULAR		
İSİM	YAŞ/CINSİYET	PRESİPİTAN FAKTÖRLER
A.O.	63/E	Diabet (1.5 ay) ve kortikoterapi
E.T.	59/K	Diabet (28 yıl)
S.T.	59/E	Diabet (2.5 yıl) ve myelodisplastik send.
K.L.	48/E	Diabet (6 yıl), immunoblastik lenfoma, kortikoterapi ve immunosupresyon tedavi

TABLO II: Olguların klinik, BT ve MRG bulguları

KLİNİK, BT VE MRG BULGULARI

OLGU 1: Sağ VI, VII, IX, X, Sol III, IV, VI, VII, IX, X, cranal sinir felçleri, sağ nazal kavitede sert, siyah kabuklanmalar, inspiratuvar raller ve solunumda yüzeyleşme. AKŞ % 869 mg

BT bulguları: Sağ maksiller ve sfenoid sinüslerde hava sıvı seviyesi, bilateral a. cerebri ant. alanında hipodens infarkt alanları, mediastende hiler dolguluk, üst orta zonda hava bronkogramları ve infiltrasyon izlenmiştir.

OLGU 2: Sağ gözde amaurozis, sağ fasil edem, sağ III, IV, V, VI, cranal sinir paralizileri, sol hemipleji, sol santral VII, cranal sinir paralizi, sağ nazal kavitede irregüler siyah spiküler, AKŞ % 291 mg

BT bulguları: Sağ paranasal sinüslerde yumuşak doku dansitesi varlığı, aynı taraf retroorbital yumuşak doku dansitesinde artış sağ sentrum semiovalede hipodens embolik alan görülmüştür.

MRG bulguları: Sağ paranasal sinüslerde infeksiyöz sıvı birikimi, optik foramen düzeyinde edem, sağ cerebral hemisferde yaygın edem, sağ lateral boynuz lateralinde kanama ile uyumlu amorf fokal hiperintens alan, orta hatta sola sift ve lateral ventrikülerde obliterasyon gözlenmiştir (Resim 2,3).

OLGU 3: Sol periferik facial paralizi, sol amaurozis, III, IV, VI, cranal sinir paralizileri, her iki nazal kavite ve sert damakta sert siyah kabuklar, AKŞ % 400 mg

BT bulguları: Sol orbital selvit, retroorbital bolgede optik sinir trasesi normal ancak yumuşak doku dansitesinde minimal artı var, bilateral maksiller, ethmoid ve sfenoid sinüslerde polipoid mukoza hipertrifisi ve seviye veren akut inflamasyon bulguları izlenmiştir.

MRG bulguları: Maksiller ve sfenoid sinüslerde hiperintens görünümlü sol retroorbital dokularda sinyal artışı, iki taraf cerebral parankim beyaz cevherinde mikroanjiopatiye sekonder iskemik değişiklikler ile uyumlu periventriküler milimetrik hiperintens alanlar görülmüştür.

OLGU 4: Sol orta konkada siyah nekrotik kruṭlar, AKŞ % 260 mg

BT bulguları: Sol ethmoid bölgede sınırlı yumuşak doku dansitesi ile birlikte aynı taraf optik sinir çevresinde sınırlı yumuşak doku dansitesi artışı dikkat çekmiştir (Resim 1).

TABLO III. Uygulanan tedavi ve прогноз

TEDAVİ ve SONUÇLAR	
OLGU 1:	Sağ maksiller sinüs ve nazal kavite debridmanı Amphotericin B (0,45 mg/kg/gün) Ex
OLGU 2:	Amphotericin B (0,5 mg/kg/gün) Ex
OLGU 3:	Her iki nazal kavite ve yumuşak damak debridmanı Triflucan (200 mg/gün), Amphotericin B (0,5 mg/kg/gün) Salah
OLGU 4:	Sol orta konkav reseksiyonu Amphotericin B (0,5 mg/kg/gün) Salah

TARTIŞMA:

Mukormikozis infeksiyonları en sık olarak paranasal sinüslerde görülür. Bunun yanı sıra gastrointestinal sistem ve cilt tutulumları da izlenmektedir(1). Infeksiyon tedavisine cevap vermemeyen maksiller sinüzit, konkallarda siyah nekrotik krutlar ani görme kaybı, ekzofthalmi, oftalmopleji ve diabet ile bulunuşu gibi tipik klinik özellikleri mevcuttur (2).

Bu özelliklerin hepsi sunulan üç olguda ve başlangıçta veya hastalığın progresyonu sırasında ortaya çıkmıştır. Rhinoserebral mukormikozis siklikla diabetik hastalarda ve özellikle asidozun varlığında görülür. Ayrıca lösemide, uzun süreli geniş spektrumlu antibiotic kullanımına bağlı nötropeni hallerinde, AIDS gibi immunosupresyon yapan hastalıkların seyri esnasında da izlenebilir(1,3). Sunulan bütün olguların hastahaneye gelişlerinde yüksek AKŞ bulunurken, birinci olguda viral encefalit tedavisi için verilen kortikosteroid sonucu ketoasidoz, ikinci olguda 28 yıllık diabet öyküsü mevcuttu. Üçüncü olgu 2,5 yıllık kontrolsüz diabetin yanı sıra kemik iliği biopsisi ile myelodisplastik sendrom tanısı almış iken dördüncü olguda da 6 yıllık diabet öyküsünün yanı sıra immunoblastik lenfoma tanısı ile kortikoterapi ve immunosupresan tedavi kullanımı öyküsü bulunuyordu.

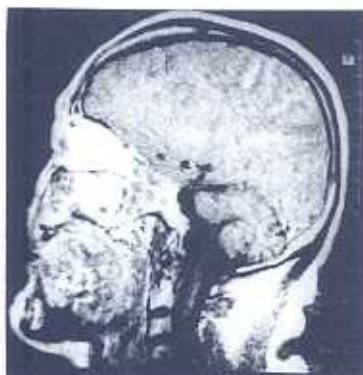
Ethmoidal bir infeksiyon, bu bölgeyi orbita ve kavernöz sinüs ile birleştiren venler yolu ile adı geçen dokulara yayılabileceği gibi (1,4) kribri-form lamina ile anterior kranial fossaya da geçebilir. Bunun yanı sıra orbital apeksten kavernöz sinüse ulaşarak oftalmopleji, trigeminal sinir lezyonları, kavernöz sinüs tromboflebiti oluşturabilir (2,5). Fungusun damar duvarları boyunca yayılması, lümeni tıkanıcı hiflerin çoğalmasına, bunlar da distal mikotik emboliler sonucu ortaya çıkan vasküler yayılımlara neden olur. Bu seyir, siyah nekrotik krutların ve serebral infarkt alanlarının oluşmasına yol açarak yaygın nörolojik belirtilerin ortaya çıkmasına sebep olur(1). Bu nörolojik tablo üç olguda, ethmoidal krutlanması da dördüncü olguda klinik ve radyolojik olarak gözlenmiştir. Kranial BTlerde saptanan infarkt alanları da damarsal yayılımı göstermede oldukça kesin bulgular olarak değerlendirilmiştir.

BT de paranasal sinüslerde mukozal kalınlaşma yanı sıra orbita apexinde periorbital yağ dokusu infiltrasyonu ve medial rektus kasında kalınlaşma sıklıkla görülür (4). Olguların üçünde de BT de aynı taraf paranasal sinüslerde yaygın mukoza hypertrofisi ve sıvı seviyesinin gözlenmesinin yanı sıra 2. ve 3. olgularda orbita apeksinde yumuşak doku dansitesi artımı da dikkat çekmiştir (Resim 1).

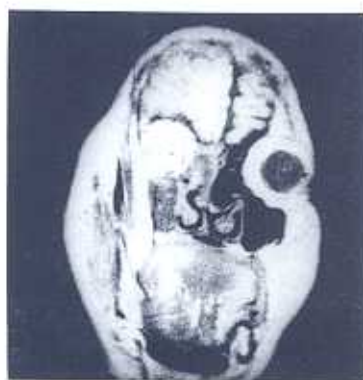


RESİM 1: 4.olgunun aksiyal BT kesitinde sağ ethmoid bölgede polipoid mukoza hypertrofisi ile birlikte aynı taraf optik sinir çevresinde sınırlı yumuşak doku dansitesi artışı.

MRG'de paranasal sinitis duvarlarında mukozal tutulma ait yüksek sinyal intensitesi gorüllür. Bu bulgumun yanısıra orbita apektinde ve medial rectus kası ile lamina papirasea arasındaki periorbita yumuşak dokuda infiltrasyon gorülmemesi mukormikozisi düşündürür (5). MRG ile incelenen 2. ve 3. olgularda bu bulgular mevcuttur (Resim 2). Ayrıca 2. olguda supratentorial kesitlerde sağ cerebral hemisferde yaygın kortikal subkortikal ödem, sağ frontal boynuz lateral kesiminde kanama ile uyumlu amorf fokal hiperintens alan gorülmüştür (Resim 3). Bu bulgular literatürde tanımlanan intrakranial tutulmamış mukormikozis olgularının MRG bulguları ile uyum göstermektedirler(5).

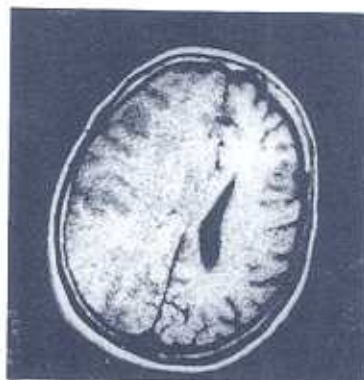


RESIM 2-a

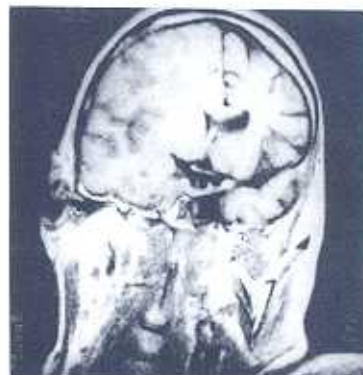


RESIM 2-b

RESIM 2: 2. olguden T_2 ağırlıklı (2500/90) sagittal (a) ve koronal (b) MR kesitlerinde orbita apektinde yaygın sinyal intensitesi artışı ile karakterize yumuşak doku ödemi.



RESIM 3-a



RESIM 3-b

RESIM 3: 2. olguden T_2 ağırlıklı (2500/90) aksiyal (a) ve koronal (b) MR kesitlerinde sağ cerebral hemisferde yaygın ödem, sağ lateral ventrikül frontal boynuz lateralinde kanama ile uyumlu amorf fokal hiperintens alanlar, sola sıft ve lateral ventriküllerde obliterasyon.

Nörolojik muayene ve radyolojik tetkik verileri intrakranial tutulam ile uyumlu ilk iki olgu, uygulanan Amphotericin B ve destek tedavilerine ve birinci olguya geniş debridman yapılmasına rağmen kaybedilmişlerdir. 3. Olguda ise debridman ve Amphotericin B tedavisine cevap alınırken nörolojik olarak intrakranial tutulam düşündürmesine karşın BT ve MRG ile bunun gösterilememesi intraserebral olayın tedaviye cevap verebilecek reversibl düzeyde bulunduğu kanısını uyandırmıştır. Klinik ve radyolojik ola-

rak intraserebral olay düşünülmeyen 4. olgu ise lokal debridman Amphotericin B tedavisinden sonra hızlı bir düzelmeye göstermiştir.

Oldukça seyrek karşılaşılan mucormycosis olgularından özellikle intrakranial yayılım göstermeyen olgularda geniş debridmanın yanı sıra amphotericin B tedavisine geçilmesi, прогнозu düzeltmekte belirgin bir avantaj sağlamaktadır.

KAYNAKLAR

1. Mandell GL, Douglas RG, Bennett JE.: Principles and practice of infectious diseases. Third edition. New York: Churchill Livingstone, 1990; 1962 - 1972.
2. Rakover Y, Vered I, Garzuzzi IL, Rosen G. Rhinocerebral phycimycosis: combined approach therapy; case report. The Journal of Laryngology and Otology 1985; 99: 1279 - 1280.
3. Cuadrado LM, Guerrero A, Asenjo ALG, Martin F, Falau E, Urra DG. Cerebral mucormycosis in two cases of acquired immune deficiency syndrome. Archives of Neurology 1988; 45: 109 - 111.
4. Yousem DM, Galetta SL, Gusnard DA, Goldberg HI. MR findings in rhinocerebral mucormycosis. J Comput Assist Tomogr 1989; 13: 878 - 882.
5. Press GA, Weindling MS, Hesselink JR, Ochi JW, Harris JP. Rhinocerebral mucormycosis : MR manifestations. J Comput Assist Tomogr 1988; 12: 744 - 749.